

MATEMATYCZNY OPIS DYNAMIKI RUCHU BEZZAŁOGOWEGO STATKU POWIETRZNEGO

Streszczenie

W artykule przedstawiono rozważania matematyczne dotyczące analizy dynamiki ruchu platformy latającej – quadcopter. Omówione w pracy zależności matematyczne zostały poddane badaniom symulacyjnym przeprowadzonym w środowisku Matlab/Simulink, w którym odwzorowano model obiektu latającego.

WSTĘP

Omówiona w artykule dynamika lotu samolotu bezzałogowego BSP odnosi się do platformy latającej napędzanej czterema silnikami, które ustawione są w osi pionowej. Mechanizm sterowania takim obiektem latającym realizowany jest poprzez dodawanie lub odejmowanie mocy do poszczególnych silników. Wykonanie tych zaleceń skutkuje zmianą kierunku lotu pojazdu oraz jego stabilizacją. W literaturze model obiektu latającego z czterema silnikami napędowymi nosi nazwę quadcopter. Model konstrukcyjny quadcoptera charakteryzuje się niewielkimi gabarytami konstrukcyjnymi przez co podatny jest na niekorzystne warunki atmosferyczne, a w szczególności dotyczy to silnego wiatru.

Nadmienić wypada, że na chwilę obecą samoloty BSP najczęściej wykorzystywane są przez służby mundurowe.

Rola bezzałogowych statków powietrznych wykorzystywanych w wojsku będzie ciągle rosła. Planuje się wprowadzenie do służby wielu ich rodzajów: od niewielkich startujących z ręki, mogących pomóc w rozpoznaniu plutonowi piechoty, do wielkich o zasięgu globalnym.

Rozwijają się bojowe wersje bezzałogowych samolotów – zaczyna się je wyposażać w przeciwpancerne pociski kierowane lub bomby lotnicze [1].

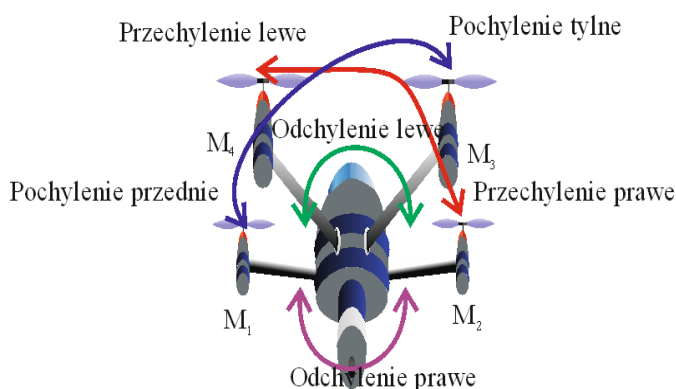
Matematyczne równania opisujące dynamikę lotu platformy latającej - quadcoptera znacząco się różni od zależności matematycznych opisujących mechanikę lotu standardowych obiektów latających. Mając to na uwadze w rozważaniach przyjęto, że waga quadcoptera wynosi około 0,89 kg, a równania ruchu zostaną przedstawione w odniesieniu do równań Euler'a-Lagrange'a. Ponadto obiekt umieszczono w globalnym układzie współrzędnych. Długość ramion ramy wykonanej z włókna węglowego wynosi 45mm. Główny mechanizm napędowy to silniki bezszczotkowe, które wykonują 1600 obrotów na każdy 1 V zasilania. W artykule przedstawiono rozważania matematyczne mające na celu weryfikację dotychczas opracowanych modeli matematycznych pod względem siły nośnej.

1. PODSTAWOWY MODEL MATEMATYCZNY RUCHU - QUADCOPTERA

Z przedstawionego modelu na Rys. 1, zauważyć można, że siła nośna wytwarzana przez cztery silniki umiejscowione na końcach ramion, będzie zawsze dodatnia.

Jak widać silnik M_1 i silnik M_3 obracają się w kierunku przeciwnym do ruchu wskazówek zegara, z kolei silnik M_2 i M_4 wirują w kierunku prawym. Zatem siła nośna F_n jest sumą wszystkich sił generowanych przez poszczególne silniki. Takie rozmieszczenie silników powoduje, że momenty aerodynamiczne oraz działanie

żyrostacyjne rozkładają się równomiernie na całym obiekcie latającym [1].



Rys. 1. Model przedstawiający dynamikę quadcoptera

Moment obrotowy w płaszczyźnie pochylenia obiektu (pitch) jest funkcją $f_1 - f_3$, moment obrotowy przechylenia obiektu latającego jest funkcją $f_2 - f_4$, z kolei moment obrotowy odchylenia (yaw) jest sumą wszystkich czterech $\tau_{M1} + \tau_{M2} + \tau_{M3} + \tau_{M4}$, gdzie τ_{Mi} jest oddziaływaniem momentu obrotowego i -tego silnika, zależnym od przyspieszenia i oporu powietrza τ_{pow} na jaki natrafia konstrukcja statku powietrznego w locie.

1.1. Momenty charakteryzujące quadcopter

Moment obrotowy silnika opisano zależnością [2],[4]:

$$I_{nos}\dot{\omega} = \tau M_i - \tau_{pow} \quad (1)$$

gdzie I_{nos} - moment bezwładności wirnika wokół własnej osi, zaś opór aerodynamiczny τ_{pow} przedstawiono jako [2]:

$$\tau_{pow} = \frac{1}{2} \rho A v^2 \quad (2)$$

gdzie ρ jest gęstością powietrza, powierzchnia konstrukcja obiektu wynosi A , z kolei przez v oznaczono prędkość obiektu latającego w stosunku do powietrza. Prędkość kątowna równa jest prędkości liniowej podzielona przez promień obrotu r . Mianowicie [3]:

$$\omega = \frac{v}{r} \quad (3)$$

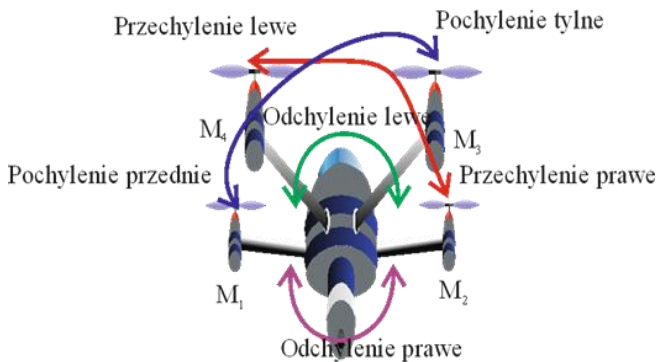
Stąd opór aerodynamiczny określa zależność [6]:

$$\tau_{pow} = k_{pow}\omega^2 \quad (4)$$

gdzie stała $k_{pow} > 0$ i zależy od gęstości powietrza, promienia oraz kształtu obiektu BSP. Zakładając, że dla manewrów quasi-stacjonarnych prędkość kątowna ω jest stała, więc:

$$\tau M_i = \tau_{pow} \quad (5)$$

Ruch w płaszczyźnie pitch („do przodu”) utrzymywany jest za pomocą zwiększania prędkości silnika tylnego oznaczonego jako M_3 , ruch w przeciwnym kierunku realizowany jest poprzez zmniejszanie prędkości silnika M_1 . W podobny sposób uzyskuje się ruch w kierunkach bocznych wykorzystując silnik prawy M_2 oraz lewy M_4 .



Rys. 2. Model quadcoptera w przestrzeni 3D

Ruch w płaszczyźnie yaw wypracowany jest poprzez zwiększenie momentu obrotowego τM_1 oraz τM_3 przy jednoczesnym zmniejszaniu momentu obrotowego silników M_2 i M_4 . Ruchy te muszą być wykonywane przy zachowaniu całkowitej stałej oporowej k_{pow} (Rys. 2).

2. MODEL DYNAMICZNY QUADCOPTERA

Model czteroramienego samolotu UAV przedstawiono jako ciało sztywne w przestrzeni trójwymiarowej z zachowaniem trzech głównych płaszczyzn opisujących ruch obiektu latającego i zjawiska zachodzące w czasie odbywania lotu. Mianowicie odchylenie, przechylenie oraz odchylenie.

2.1. Opis ruchu obiektu BSP według Euler’a–Lagrange’a

Niech uogólnione współrzędne wirników zdefiniowane będą jako:

$$q = (x, y, z, \psi, \theta, \phi) \in R^6 \quad (6)$$

gdzie $\xi = (x, y, z) \in R^3$ określa wektor położenia środka ciężkości obiektu quadcoptera w stosunku do układu inercyjnego powiązanego z obiektem UAV. Kąty Eulera (określające położenie wirników) wyrażono przez płaszczyznę $\eta = (\psi, \theta, \phi) \in R^3$, ψ jest kątem przechylenia yaw wokół osi z , θ jest kątem pochylenia pitch wokół osi y , z kolei przez ϕ oznaczono kąt odchylenia wokół osi x . Na ilustracji przedstawiono układ współrzędnych dla którego zostaną przeprowadzone rozważania matematyczne opisujące dynamikę ruchu quadcoptera. Definiując funkcję Lagrange’a, [7]:

$$L(q, \dot{q}) = T_{trans} + T_{rot} - U \quad (7)$$

gdzie $T_{trans} = \frac{m}{2} \dot{\xi}^T \dot{\xi}$ jest energią kinetyczną, $T_{rot} = \frac{1}{2} \Omega^T I \Omega$ oznacza obrotową energią kinetyczną wirników, $U = mgz$ jest energią potencjalną wirników, wielkość z określa wysokość na jakiej znajduje się obiekt w powietrzu, m – masa quadcoptera, Ω – wektor prędkości nominalnej, I – macierz momentów bezwładności, g – przyspieszenie ziemskie.

Wektor prędkości kątowych ω rozkłada się w układzie współrzędnych, którego środek znajduje się w środku ciężkości quadcoptera i powiązany jest prędkością wirników w płaszczyźnie η . Między nimi zachodzą następujące relacje [4]:

$$\Omega = W_\eta \dot{\eta} \quad (8)$$

gdzie

$$W_\eta = \begin{bmatrix} -\sin \theta & 0 & 1 \\ \cos \theta \sin \phi & \cos \phi & 0 \\ \cos \theta \cos \phi & -\sin \phi & 0 \end{bmatrix} \quad (9)$$

oraz

$$\Omega = \begin{bmatrix} \dot{\phi} - \dot{\psi} \sin \theta \\ \dot{\theta} \cos \phi + \dot{\psi} \cos \theta \sin \phi \\ \dot{\psi} \cos \theta \cos \phi - \dot{\theta} \sin \phi \end{bmatrix} \quad (10)$$

Następnie definiując wielkość [5]:

$$J = J(\eta) = W_\eta^T I W_\eta \quad (11)$$

gdzie

$$I = \begin{bmatrix} I_{xx} & 0 & 0 \\ 0 & I_{yy} & 0 \\ 0 & 0 & I_{zz} \end{bmatrix} \quad (12)$$

Stąd

$$T_{rot} = \frac{1}{2} \dot{\eta}^T J \dot{\eta} \quad (13)$$

Zatem macierz J odwzorowuje momenty bezwładności wywołane w skutek obrotu śmigła quadcoptera przy jednoczesnym wywołaniu energii kinetycznej obiektu BSP. Wielkości te wyrażono bezpośrednio w układzie współrzędnych uogólnionych η . Ponadto kompletny model opisujący dynamikę quadcoptera opisano różniczkowym równaniem Euler’a–Lagrange’a z uwzględnionymi siłami zewnętrznymi. Mianowicie [6]:

$$\frac{d}{dt} \left(\frac{\partial \mathcal{L}}{\partial \dot{q}} \right) - \left(\frac{\partial \mathcal{L}}{\partial q} \right) = \begin{bmatrix} F_\xi \\ \tau \end{bmatrix} \quad (14)$$

gdzie $F_\xi = R \dot{F} \in \mathbb{R}^3$ jest siłą zewnętrzną przesuniętą, pochodzącą od wirników w przestrzeni trójwymiarowej, $\tau \in \mathbb{R}^3$ jest macierzą definiującą poszczególne momenty kątów przechylenia, pochylenia i odchylenia w trakcie ruchu obiektu. Natomiast parametr $R(\psi, \theta, \phi) \in SO(3)$ przedstawia orientację samolotu względem przyjętego wcześniej inercyjnego układu współrzędnych.

$$R = \begin{bmatrix} c_\theta c_\psi & c_\psi s_\theta s_\phi - c_\phi s_\psi & s_\phi s_\psi + c_\phi c_\psi s_\phi \\ c_\theta s_\psi & c_\phi c_\psi + s_\theta s_\phi s_\psi & c_\phi s_\theta s_\psi - c_\psi s_\phi \\ -s_\theta & c_\theta s_\phi & c_\theta c_\phi \end{bmatrix} \quad (15)$$

gdzie c oznacza cosinus zaś s sinus. Zgodnie z rys. 2 siły wynoszą:

$$\hat{F} = \begin{bmatrix} 0 \\ 0 \\ u \end{bmatrix} \quad (16)$$

gdzie u jest głównym kierunkiem ruchu na zewnątrz samolotu i wyrażony jest jako [8]:

$$u = \sum_{i=1}^4 f_i \quad (17)$$

gdzie $i = 1, \dots, 4$, zaś f_i są siłami wytwarzanymi przez poszczególne silniki M_i . W standardowych warunkach $f_i = k\omega_i^2$, gdzie k jest wielkością stałą, ω_i jest prędkością kątową i -tego silnika. Stąd uogólnione momenty rozruchu obiektu latającego przedstawiono jako:

$$\tau = \begin{bmatrix} \tau_\psi \\ \tau_\theta \\ \tau_\phi \end{bmatrix} = \begin{bmatrix} \sum_{i=1}^4 \tau_{Mi} \\ (f_2 - f_4)l \\ (f_3 - f_1)l \end{bmatrix} \quad (18)$$

gdzie l jest odległością między silnikiem a środkiem ciężkości quadcoptera, zaś τ_{Mi} oznacza moment wytwarzany przez i -ty silnik wokół osi odwzorowującej środek ciężkości samolotu.

Ponadto w równaniu nie uwzględniono wpływu energii kinetycznej pochodzącej od ramion skośnych ξ oraz η , zatem w równaniu Eulera-Lagrange'a można dokonać podziału na współrzędne ξ oraz η określające dynamikę quadcoptera. W takim przypadku równanie opisujące ruch samolotu UAV przyjmie postać:

$$\frac{d}{dt} \left[\frac{\partial L_{trans}}{\partial \dot{\xi}} \right] - \frac{\partial L_{trans}}{\partial \xi} = F_\xi \quad (19)$$

gdzie

$$m\ddot{\xi} + mgE_z = F_\xi \quad (20)$$

Zaś dla współrzędnych η równanie ruchu przedstawia się następująco:

$$\frac{d}{dt} \left[\frac{\partial L_{rot}}{\partial \dot{\eta}} \right] - \frac{\partial L_{rot}}{\partial \eta} = \tau \quad (21)$$

lub

$$\frac{d}{dt} \left[\dot{\eta}^T J \frac{\partial \eta}{\partial \dot{\eta}} \right] - \frac{1}{2} \frac{\partial}{\partial \eta} (\dot{\eta}^T J \dot{\eta}) = \tau \quad (22)$$

W ten sposób uzyskano:

$$J\ddot{\eta} + J\dot{\eta} - \frac{1}{2} \frac{\partial}{\partial \eta} (\dot{\eta}^T J \dot{\eta}) \quad (23)$$

Następnie biorąc pod uwagę siły Coriolisa, otrzymano:

$$\bar{V}(\eta, \dot{\eta}) = J\dot{\eta} - \frac{1}{2} \frac{\partial}{\partial \eta} (\dot{\eta}^T J \dot{\eta}) \quad (24)$$

Biorąc powyższą zależność równanie (21) zapisać można jako:

$$J\ddot{\eta} + \bar{V}(\eta, \dot{\eta}) = \tau \quad (25)$$

gdzie wielkość $\bar{V}(\eta, \dot{\eta})$ wyrażać można jako:

$$\bar{V}(\eta, \dot{\eta}) = \left(j - \frac{1}{2} \frac{\partial}{\partial \eta} (\dot{\eta}^T J \dot{\eta}) \right) \dot{\eta} = C(\eta, \dot{\eta}) \dot{\eta} \quad (26)$$

gdzie $C(\eta, \dot{\eta})$ określane są jako współczynniki Coriolisa zawierające w sobie także siły odśrodkowe związane z η , z uzależnieniem od parametru J oraz wielkości dostarczane przez żyroskop.

Następnie

$$\begin{aligned} m\ddot{\xi} + mgE_z &= F_\xi \\ J\ddot{\eta} &= \tau - C(\eta, \dot{\eta}) \dot{\eta} \end{aligned} \quad (27)$$

W celach upraszczających rozwiązanie równania przyjęto, że:

$$\tilde{\tau} = \begin{bmatrix} \tilde{\tau}_\psi \\ \tilde{\tau}_\theta \\ \tilde{\tau}_\phi \end{bmatrix} = J^{-1}(\tau - C(\eta, \dot{\eta}) \dot{\eta}) \quad (28)$$

Ostatecznie uzyskano:

$$\begin{aligned} m\ddot{x} &= u(\sin \phi \sin \psi + \cos \phi \cos \psi \sin \phi) \\ m\ddot{y} &= u(\sin \phi \sin \theta \sin \psi - \cos \psi \sin \phi) \\ m\ddot{z} &= u \cos \theta \cos \phi - mg \end{aligned} \quad (29)$$

$$\ddot{\psi} = \tilde{\tau}_\psi$$

$$\ddot{\theta} = \tilde{\tau}_\theta$$

$$\ddot{\phi} = \tilde{\tau}_\phi$$

gdzie x i y są współrzędnymi w płaszczyźnie poziomej, z w płaszczyźnie pionowej, z kolei wielkości $\tilde{\tau}_\psi$, $\tilde{\tau}_\theta$ oraz $\tilde{\tau}_\phi$ są momentami przechylenia, odchylenia i pochylenia, związanymi z uogólnionymi momentami τ_ψ , τ_θ oraz τ_ϕ .

3. WYNIKI Z BADAŃ SYMULACYJNYCH

Pierwszą czynnością jaką wykonano przed przystąpieniem do modelowania obiektu quadcoptera w środowisko Matlab/Simulink było zdefiniowanie równań różniczkowych opisujących dynamikę ruchu obiektu BSP oraz zdefiniowanie UAV w układzie współrzędnych globalnych. Warunkiem koniecznym w modelowaniu matematycznych obiektów w przestrzeni 3D jest określenie modelu w przestrzeni stanów, w których głównym elementem opisu są równania

różniczkowe określające system jego sterowania, zaś pozostałe wielkości występujące w momencie startu jak i locie podane są w postaci macierzy. Wielkości te mogą być stosowane również do lepszego sterowania obiektem latającym.

Model przestrzeni stanu reprezentowany jest jako [5]:

$$\begin{aligned} \dot{x} &= Ax + Bu \\ y &= Cx + Du \end{aligned} \quad (30)$$

Z przedstawionego powyżej modelu wynika, że obiekt (system) w przestrzeni stanu scharakteryzowano za pomocą funkcji liniowej, zatem można ją stosować jedynie dla systemów liniowych. Biorąc pod uwagę, że platforma latająca należy do grupy systemów nieliniowych należy wprowadzić zmiany w wielkości \dot{x} , którą wyrażono jako [6]:

$$\dot{x} = f(x) + G(x) \cdot v \quad (31)$$

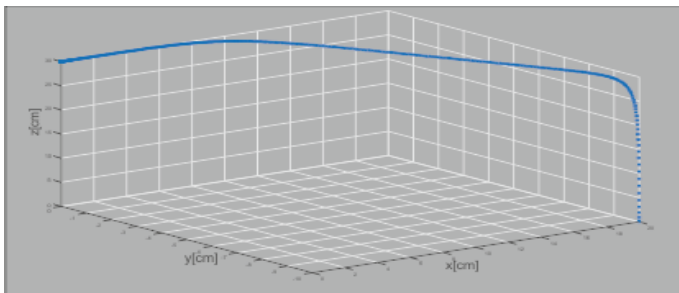
Związków z modyfikacją wielkości \dot{x} , w następnym kroku jaki należy wykonać przy modelowaniu quadcoptera w Matlab/Simulink jest zdefiniowanie układu współrzędnych gdyż wcześniej zaprezentowane wielkości zmieniają się w następujące:

$$x = (\phi, \theta, \psi, \dot{\phi}, \dot{\theta}, \dot{\psi})^T$$

Głównym celem jaki postawiono przed wykonaniem symulacji komputerowych było oszacowanie jak zmieniają się kąty pochylenia, przechylenia i odchylenia od samego startu obiektu, aż do chwili ustabilizowanego lotu.

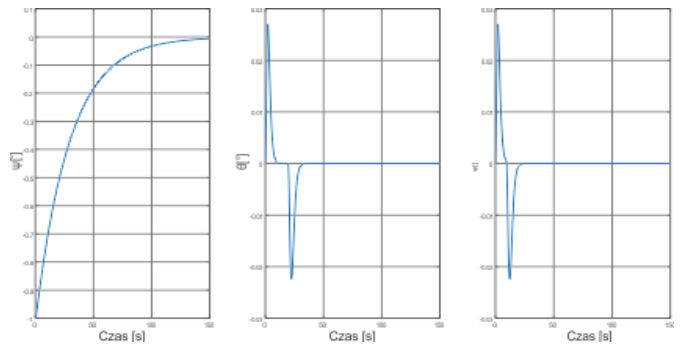
Z przeprowadzonych symulacji będzie można ocenić jak wpływa regulator PID na sterowalność obiektu BSP. Rezultaty z przeprowadzonych symulacji komputerowych zaprezentowano na poniżej zamieszczonych rysunkach.

Trasa lotu wyglądała jak pokazano na (Rys 3.). Dane odnośnie trajektorii lotu niezbędne do symulacji komputerowych zostały zebrane z odbiornika nawigacji satelitarnej GNSS/INS.

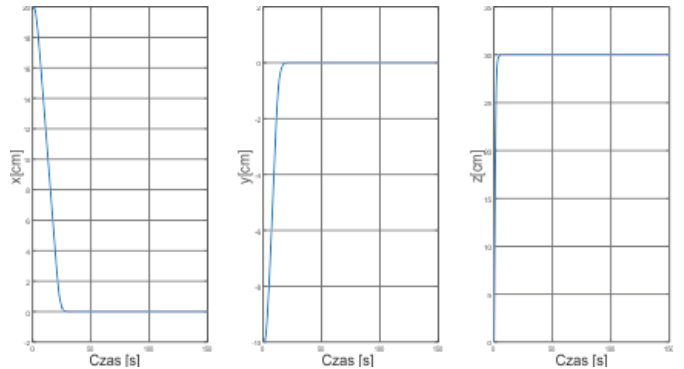


Rys. 3. Trajektoria lotu quadcoptera

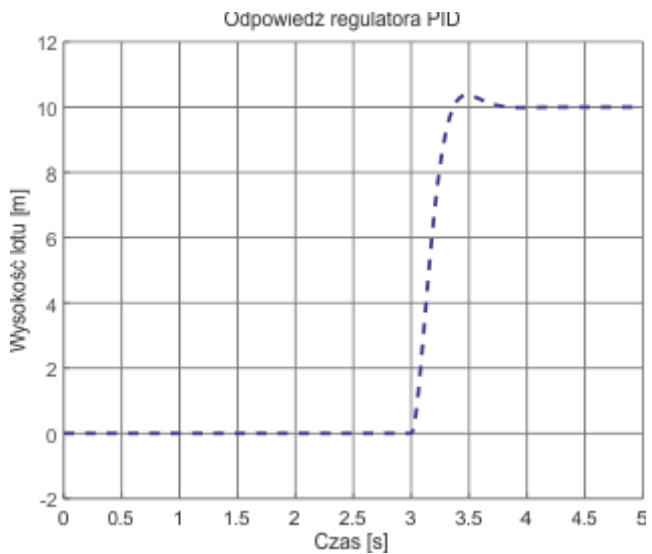
W dalszej kolejności przedstawiono wykresy odnośnie uzyskanych kątów i współrzędnych określających usytuowanie obiektu BSP w przestrzeni 3D.



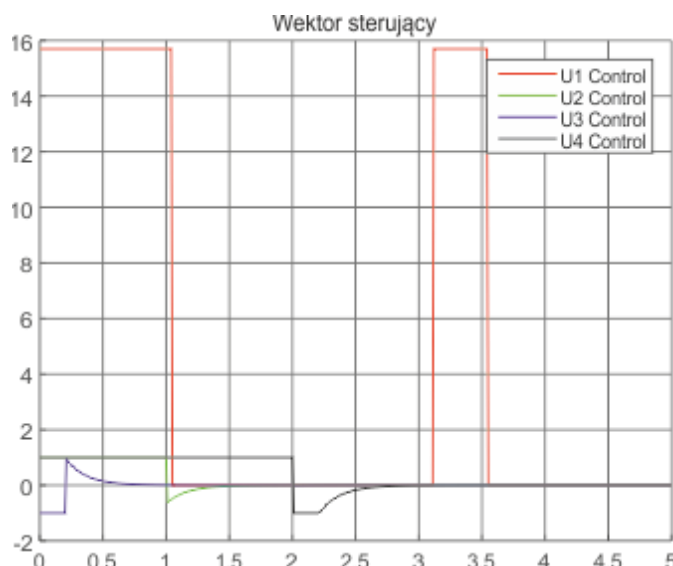
Rys. 4. Przebieg kątów od momentu startu do chwili stabilizacji lotu quadcoptera



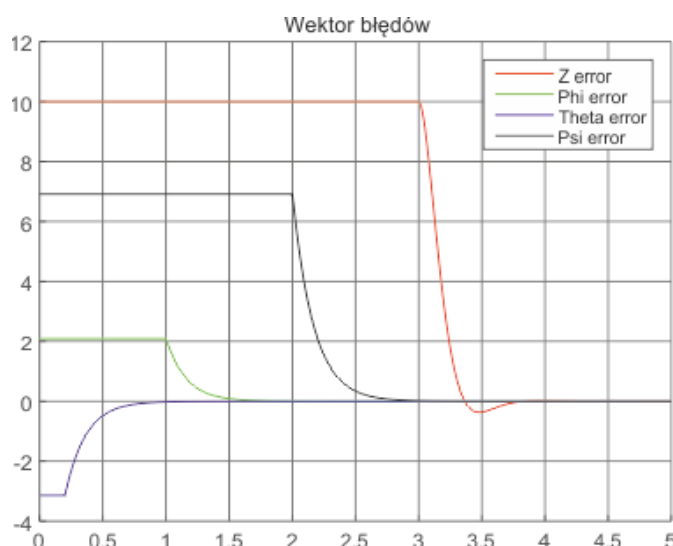
Rys. 5. Wartości parametrów x, y i z od momentu startu do chwili stabilizacji lotu quadcoptera



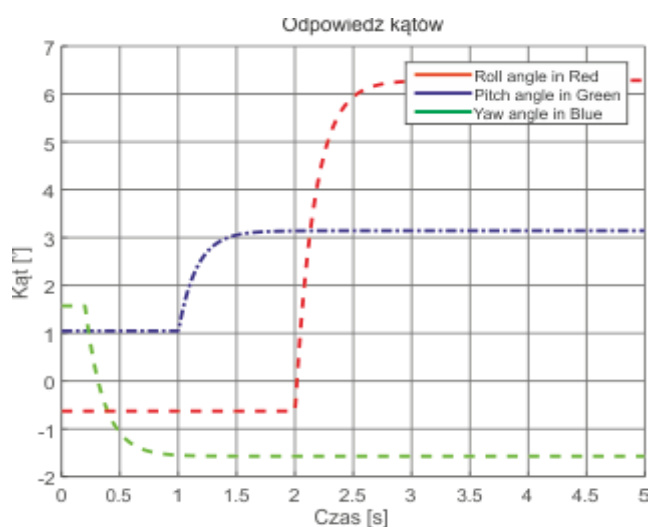
Rys. 6. Odpowiedź regulatora PID



Rys. 7. Składowe definiujące wektor sterujący ze wszystkich czterech silników napędowych



Rys. 8. Błędy w procesie sterowania quadcopterem od chwili startu do ustabilizowania lotu



Rys. 9. Odpowiedź regulatora odnośnie kątów definiujących położenie quadcopter w przestrzeni

PODSUMOWANIE

W artykule omówiono zagadnienie matematycznego modelowania i kontrolę bezzałogowego statku powietrznego z czterema silnikami, który w społeczności lotniczej zwany jest quadcopterem. Wszystkie wyprowadzenia matematyczne opisujące zjawiska towarzyszące dynamice ruchu quadcoptera zostały przedstawione w sposób chronologiczny i oparte zostały na modelu matematycznym równań Eulera-Lagrange'a. Opis matematyczny ruchu obiektu zasymulowano w środowisku Matlab/Simulink. Stabilizacja położenia platformy latającej realizowana jest poprzez zastosowanie regulatora PID. Kontrola trajektorii lotu quadcoptera wykonywana jest za pomocą zaimplementowanych w układach programalnych odpowiednich algorytmów, których działanie oparto na metodach heurystycznych. Ich głównym zadaniem było poprawić odpowiedzi uzyskiwane z regulatora PID.

Zaznaczyć wypada, że opracowany model matematyczny w Matlabie odzwierciedlał rzeczywiste zachowanie się obiektu UAV w czasie odbywania lotu. Uzyskane wyniki z symulacji komputerowych wykazały, że regulatory PID znacząco poprawiają kontrolę dynamiki ruchu obiektu BSP oraz jego stabilizację. Jednakże widać, że regulator PID pogarsza nieznacznie odchyłki stabilizacji dla wielkości x i y , w porównaniu do wartości pierwotnych podczas realizacji procesu stabilizacji. Kąty charakteryzujące położenie obiektu w zdefiniowanym układzie współrzędnych globalnych także ulegają niewielkim zmianom od wartości początkowych niż w przypadku wykorzystania regulatora PD.

Wyniki z symulacji dostarczają także informacji, że użyta w testach metoda heurystyczna znacząco poprawia stabilizację utrzymania obiektu BSP na określonej wysokości w przestrzeni 3D. Dotyczy to wszystkich trzech wielkości x , y i z . Całkowita siła nośna (ciągu), a także kąty przechylenia i pochylenia uzyskane przez zwiększenie przyspieszenia zostały rozwiązane z liniowych równań różniczkowych. Wyznaczone parametry pozwoliły na określenie momentów wszystkich czterech silników quadcoptera oraz przydatne były do określenia kątów przyspieszenia i prędkości kątowych.

Wyniki z symulacji wykazują, że quadcopter z regulatorem PID, może być kontrolowany przez użytkownika stabilniej i zwiększa się precyzja w jego sterowności.

Prezentowany model i metody badawcze poddano tylko symulacjom komputerowym, zatem otrzymane wyniki mogą być obarczone pewnym błędem, stąd należy jeszcze przeprowadzić eksperyment w warunkach rzeczywistych, przy czym należy pamiętać, aby skonstruowany quadcopter zawierał identyczne parametry jak w badaniach komputerowych. A uzyskane na tym etapie wyniki należy porównać z tymi uzyskanymi z symulacji komputerowych.

BIBLIOGRAFIA

1. Adamski M., Rajchel J., „Bezzałogowe Statki Powietrzne”, cz I, WSOSP Dęblin 2013r.
2. Bieńczyk R., Janiszewski J., Komorek., Kowalik R., Rypulak A., Smolak M., *Koncepcja wykorzystania sieci neuronowych w BSP*, Logistyka 6/2014
3. Ducard G. J. J., *Fault-tolerant Flight Control and Guidance Systems Practical Methods for Small Unmanned Aerial Vehicles*, Springer 2009
4. Fahroo F., Wang Le Yi, Yin G., *Recent Advances in Research on Unmanned Aerial Vehicles*, Springer 2013
5. García C., Dzul López R., Lozano A.E., Pégard R., *Quad Rotorcraft Control Vision-Based Hovering and Navigation*, Springer 2013
6. Valavanis K. P., Oh P., Piegl L. A., *Unmanned Aircraft Systems*

- International Symposium On Unmanned Aerial Vehicles, UAV'08, Springer, Berlin 2009*
7. Valavanis K. P., Oh P., Piegl L. A., *Selected papers from the 2nd International Symposium on UAVs, Reno, U.S.A. June 8-10, Springer, Berlin 2010*
 8. Valavanis K. P., Vachtsevanos G. J., *Handbook of Unmanned Aerial Vehicles, Springer, Berlin 2015*

MATHEMATICAL DESCRIPTION OF DYNAMICS OF AN UNMANNED AIRCRAFT VEHICLE

Abstract

This paper presents mathematical considerations for the analysis of the dynamics of movement of the platform year - quadcopter. Depending discussed in the been tested simulation conducted in an environment Matlab / Simulink, in which mapped model of a flying object.

Autorzy:

dr inż. **Andrzej Komorek** – Wyższa Szkoła Oficerska Sił Powietrznych w Dęblinie, Wydział Lotnictwa, Katedra Awioniki i Systemów Sterowania, a.komorek@wsosp.pl

inż. **Rafał Bieńczak** – Wyższa Szkoła Oficerska Sił Powietrznych w Dęblinie, Wydział Lotnictwa, Katedra Awioniki i Systemów Sterowania, r.bieńczak@wsosp.pl

mgr inż. **Rafał Kowalik** – Wyższa Szkoła Oficerska Sił Powietrznych w Dęblinie, Wydział Lotnictwa, Katedra Awioniki i Systemów Sterowania, r.kowalik@wsosp.pl